

# Separovatelné a ambitové časoprostorové bodové procesy

Antonín Koubek

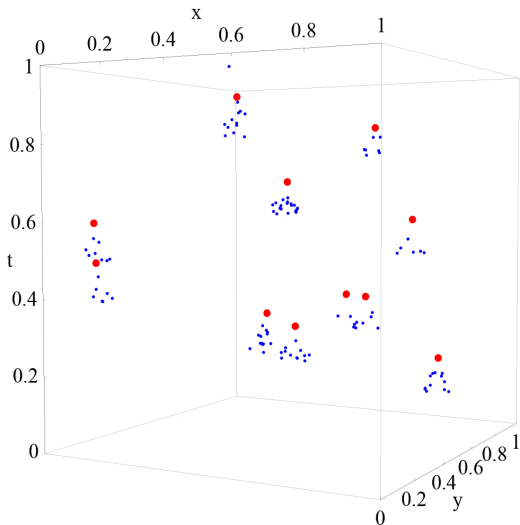
Katedra pravděpodobnosti a matematické statistiky, MFF UK Praha

Robust, Jetřichovice, 20.9.2014

# Úvod a přehled

- ▶ Časoprostorový bodový proces. . . bodový proces v  $\mathbb{R}^2 \times \mathbb{R}$
- ▶ Separovatelnost. . . možnost separovat prostor a čas (v dále definovaném smyslu)
- ▶ Testování separovatelnosti
- ▶ Ukázka na vybraných modelech SNCP
- ▶ Porovnání teorie a simulací

## Ukázka – ambitový model



**Obrázek:** Realizace ambitového modelu. Svislá osa je časová, ostatní dvě osy jsou prostorové.

# SNCP v $\mathbb{R}^2 \times \mathbb{R}$

## Definice

(Časoprostorový shot noise Coxův proces (SNCP))

Nechť  $X$  je Coxův proces na  $\mathbb{R}^2 \times \mathbb{R}$  s řídicí intenzitou

$$Z(u, t) = \lambda(u, t) \sum_{(\xi, \eta, r) \in \Phi_p} rk((u, t), (\xi, \eta)) \quad (1)$$

kde  $u \in \mathbb{R}^2$ ,  $t \in \mathbb{R}$ ,  $k(\cdot, \cdot)$  je pravděpodobnostní hustota,  $\Phi_p$  je Poissonův bodový proces na  $\mathbb{R}^2 \times \mathbb{R} \times (0, \infty)$  s lokálně integrovatelnou funkcí intenzity  $\zeta$  a  $\lambda(u, t)$  je nezáporná omezená funkce na  $\mathbb{R}^2 \times \mathbb{R}$ . Pak  $X$  se nazývá *časoprostorový shot noise Coxův proces (SNCP)*.

# Podmínky na SNCP

- ▶ Pozorujeme proces  $X$  v kompaktní množině  $W \times T \subset \mathbb{R}^2 \times \mathbb{R}$
- ▶  $\zeta(u, t, r) = \nu p(r)$ ,  $(u, t, r) \in \mathbb{R}^2 \times \mathbb{R} \times \mathbb{R}_+$ ,  $0 < \nu < \infty$ , kóty jsou nezávislé se společnou hustotou  $p(r)$
- ▶  $k((u, t), (v, s)) = k((u - v, t - s), 0)$  for all  $(u, t), (v, s) \in \mathbb{R}^2 \times \mathbb{R}$

# Separovatelnost

## Definice

(Časoprostorová separovatelnost)

SNCP  $X$  v  $\mathbb{R}^2 \times \mathbb{R}$  je časoprostorově separovatelný, pokud pro jádro  $k$  procesu  $X$  platí

$$k(u, t) = k_1(u)k_2(t), \quad u \in \mathbb{R}^2, t \in \mathbb{R},$$

kde  $k_1$  je hustota v  $\mathbb{R}^2$  a  $k_2$  je hustota v  $\mathbb{R}$ .

# Posouzení separovatelnosti

- ▶ Párová korelační funkce (za daných předpokladů) má tvar

$$g(u, t) = 1 + \frac{\int_{\mathbb{R}_+} r^2 p(r) dr \int_{\mathbb{R}} \int_{\mathbb{R}^2} k(x, y) k(x - u, y - t) dx dy}{\nu (\int_{\mathbb{R}_+} r p(r) dr)^2}$$

- ▶ Definujme funkce

$$g_1(u) = \frac{1}{|T|^2} \int_T \int_T g(u, t - s) ds dt, \quad u \in \mathbb{R}^2, \quad (2)$$

$$g_2(t) = \frac{1}{|W|^2} \int_W \int_W g(u - v, t) du dv, \quad t \in \mathbb{R}, \quad (3)$$

$$K_1(r) = \int_{\|u\| \leq r} g_1(u) du, \quad r > 0, \quad (4)$$

$$K_2(t) = \int_{-t}^t g_2(s) ds, \quad t > 0. \quad (5)$$

## Posouzení separovatelnosti – pokračování

- ▶ Definujme funkci

$$F(r, t) = \frac{K(r, t) - 2\pi r^2 t}{(K_1(r) - \pi r^2)(K_2(t) - 2t)}, \quad r, t > 0, \quad (6)$$

kde položíme  $\frac{a}{0} = 0$  pro  $a \in \mathbb{R}$ .

- ▶ F funkce je konstantní pro separovatelné procesy



# Odhady



$$\hat{K}(r, t) = \frac{1}{|W||T|} \sum_{i \neq j} \frac{I[\|u_i - u_j\| \leq r, |t_i - t_j| \leq t]}{\omega_1(u_i, u_j) \omega_2(t_i, t_j) \hat{\rho}(u_i, t_i) \hat{\rho}(u_j, t_j)},$$

$(r, t) \in W \times T$ ,  $\omega_1(u_i, u_j)$  je Ripleyho isotropická korekce okrajů,  $\omega_2(t_i, t_j)$  je časová korekce okrajů.



$$\hat{K}_1(r) = \frac{1}{|W||T|^2} \sum_{i \neq j} \frac{I[\|u_i - u_j\| \leq r]}{\omega_1(u_i, u_j) \hat{\rho}(u_i, t_i) \hat{\rho}(u_j, t_j)}, \quad r \geq 0,$$



$$\hat{K}_2(t) = \frac{1}{|W|^2|T|} \sum_{i \neq j} \frac{I[|t_i - t_j| \leq t]}{\omega_2(t_i, t_j) \hat{\rho}(u_i, t_i) \hat{\rho}(u_j, t_j)}, \quad t \geq 0,$$



$$\hat{F}(r, t) = \frac{\hat{K}(r, t) - 2\pi r^2 t}{(\hat{K}_1(r) - \pi r^2)(\hat{K}_2(t) - 2t)}, \quad \text{kde } r, t > 0.$$

# Simulace

Funguje pro výše definovaný prostorovo-časový SNCP.

- ▶ Simulace rodičovského Poissonova bodového procesu  $\Phi$  v rozšířeném okně (okrajové efekty)
- ▶ Simulace kóty pro každý bod  $\Phi$
- ▶ Simulace bodů ve shluku pro každý bod  $\Phi$ , počet bodů závisí na kótě
  - ▶ rovnoměrně na omezené množině aproximující shluk
  - ▶ nezávislé ztenčení pro získání požadované hustoty rozdělení

## Model 1 - separovatelný model

- ▶ Rodičovský Poissonův bodový proces má intenzitu  $\zeta(u, t, r) = 10\delta_1(r)$ ,  $(u, t, r) \in \mathbb{R}^2 \times \mathbb{R} \times \mathbb{R}_+$ , takže bodový proces  $\Phi$  je stacionární bodový proces v  $\mathbb{R}^2 \times \mathbb{R}$  s intenzitou  $\nu = 10$  a kótami rovnajícími se  $r = 1$  s pravděpodobností jedna.
- ▶ Jádro určující rozdělení bodů ve shluku má součinnový tvar  $k(u, t) = k_1(u)k_2(t)$ ,  $(u, t) \in \mathbb{R}^2 \times \mathbb{R}$ , kde

$$k_1(u) = \frac{1}{2\pi\sigma^2} \exp\left(-\frac{x^2 + y^2}{2\sigma^2}\right), \quad u = (x, y) \in \mathbb{R}^2, \quad (7)$$

$$k_2(t) = \frac{\alpha}{1 - \exp(-\alpha t^*)} \exp(-\alpha t), \quad 0 \leq t \leq t^*, \quad \text{jinak } k_2(t) = 0, \quad (8)$$

kde  $\sigma = 0.025$ ,  $\alpha = 20$ ,  $t^* = 0.1$ .

- ▶ Funkce intenzity pro Model 1 je

$$\rho(u, t) = \frac{200}{(1 - e^{-1})(e - 1)(e^2 - 1)} \exp(-x + y + 2t), \quad (u, t) \in \mathbb{R}^2 \times \mathbb{R}.$$

## Model 2 - ambitový model

### Definice

(Ambitová množina)

Nechť  $(u, t)$  je bod v  $\mathbb{R}^2 \times \mathbb{R}$ , necht'  $t_1 > 0$  a  $0 < \gamma < \frac{\pi}{2}$  jsou parametry. Potom *ambitová množina*  $A_u(t)$  v  $\mathbb{R}^2 \times \mathbb{R}$  je

$$A_u(t) = \{(v, s) \in \mathbb{R}^2 \times \mathbb{R} : t - t_1 \leq s \leq t, \|v - u\| \leq (t - s) \operatorname{tg}(\gamma)\}.$$

- ▶ Rodičovský bodový proces je stejný jako u Modelu 1
- ▶ Funkce intenzity je

$$\rho(u, t) = \nu \lambda(u, t) = 100, \quad (u, t) \in \mathbb{R}^2 \times \mathbb{R}.$$

- ▶ Body ve shluku mají rovnoměrné rozdělení na ambitu s vrcholy v bodech rodičovského procesu, tedy

$$k(u, t) = \frac{1}{|A_0(0)|} \mathbb{I}[(u, t) \in A_0(0)],$$

$$(u, t) \in \mathbb{R}^2 \times \mathbb{R}.$$

# Výsledky – teoretické charakteristiky pro Model 1

- ▶ Funkce F pro Model 1.

$$F(r, t) = \frac{|W|^2 |T|^2 \nu}{\int_T \int_T k_2 * \tilde{k}_2(s-t) ds dt \int_W \int_W k_1 * \tilde{k}_1(u-v) dudv} = 10.9103,$$

- ▶ Párová korelační funkce pro Model 1.

$$g(u, t) = 1 + \frac{\alpha e^{-\frac{x_0^2 + y_0^2}{4\sigma^2}} (e^{-\alpha|t|} - e^{\alpha(|t|-2t^*)})}{8\nu\pi\sigma^2 (1 - e^{-\alpha t^*})^2} \mathbb{I}[0 \leq |t| \leq t^*], \quad (9)$$

$$(u, t) \in \mathbb{R}^2 \times \mathbb{R}.$$

- ▶ K-funkce

$$K(r, t) = \int_{\|u\| \leq r} \int_{-t}^t g(u, s) \mathbb{I}[0 \leq |s| \leq t^*] ds du.$$

## Výsledky – teoretické charakteristiky pro Model 2

- ▶ Model 2

$$g(u, t) = 1 + \frac{|A_u(t) \cap A_0(0)|}{\nu |A_0(0)|^2} = 1 + c_1 |A_u(t) \cap A_0(0)|,$$

kde  $(u, t) \in \mathbb{R}^2 \times \mathbb{R}$ .

- ▶ Konstantu  $c_1$  spočítáme snadno, pro objem průniku dvou ambitů máme vzorec

$$\text{Intersection}(x, y, z) = |A_{(x,y)}(z) \cap A_0(0)| \quad (10)$$

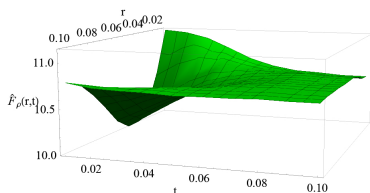
- ▶ K funkci vypočítáme integrováním  $g$  funkce, teoretickou  $F$  funkci podle vzorce

$$F(r, t) = \frac{K(r, t) - 2\pi r^2 t}{(K_1(r) - \pi r^2)(K_2(t) - 2t)}, \quad r, t > 0.$$

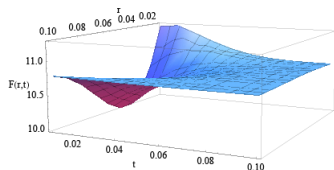
## Výsledky – odhad F funkce

$$\hat{F}(r, t) = \frac{\hat{K}(r, t) - 2\pi r^2 t}{(\hat{K}_1(r) - \pi r^2)(\hat{K}_2(t) - 2t)}, \quad \text{kde } r, t > 0. \quad (11)$$

- ▶ Slouží pro posouzení prostorovo-časové separability. V separabilním případě je F funkce konstantní.



Obrázek: F-funkce s použitím  $\rho$ .



Obrázek: Teoretická F-funkce pro Model 2.

# Testování separovatelnosti

- ▶ Kvůli rozptylu odhadu  $\hat{F}$  nemusí být zřejmé, zda odpovídá konstantní funkci  $F$
- ▶ Testujeme  $H_0$ : model je separovatelný, proti  $H_1$ : model není separovatelný
- ▶ Návrh: sestrojít obálky pro separovatelný model a porovnat s nimi odhad  $\hat{F}$
- ▶ Návrh: získat v každém bodě  $(r, t)$  více odhadů  $\hat{F}_i(r, t)$ ,  $i = 1 \dots N$  a provést analýzu rozptylu (testovat shodu středních hodnot, Welchův test pro různé rozptyly výběrů)



# Diskuse

- ▶ Podařilo se získat kvalitní simulace pro separovatelné i ambitové modely.
- ▶ Odhady intenzity i K funkce mají malé vychýlení - velmi dobře se shodují s teoretickými hodnotami pro všechny modely.
- ▶ Problematické je používání odhadnuté intenzity pro další odhady, např. K funkci. Intenzita je odhadnutá jen v diskrétních bodech.
- ▶ Odhad F funkce je výpočetně náročný. Má velký rozptyl závisující na parametrech modelu. Je třeba počítat průměr nejméně z 1000 simulací.
- ▶ Dokázali jsme vypočítat teoretické hodnoty pro funkci intenzity, párovou korelační funkci, K funkci a F funkci pro všechny zkoumané modely.
- ▶ Dalo by se uvažovat o lépe fungujícím testování separovatelnosti. Obálkový test není dostatečně silný. Analýzu rozptylu lze využít, ale vyžaduje mnoho replikací.

# Literatura

- ▶ Møller J., Waagepetersen R. P.: *Statistical Inference and Simulation for Spatial Point Processes*, Chapman & Hall/CRC, 2004.
- ▶ Møller J., Ghorbani M.: Aspects of second-order analysis of structured inhomogeneous spatio-temporal point processes, In: *Statistica Neerlandica* 66, 4, 472-491, 2012.
- ▶ Pawlas Z.: *Prostorové modelování, prostorová statistika 1*, Učební text MFF UK, Praha, 2010.
- ▶ Prokešová M., Hellmund G., Jensen E.B.V.: On spatio-temporal Lévy based Cox processes, In: *Proceedings S<sup>4</sup>G International Conference on Stereology, Spatial Statistics and Stochastic Geometry*, Prague, Editors: Lechnerová R., Saxl I., Beneš V., Union of Czech math. and physicists, 111-116, 2006.